

# 地震時土圧及び岸壁の安定性に関する研究

九大 正員 松尾春雄

## §. 1 はじめに

表題の事柄に関する今回の W.C.E.E に報告された論文は次の 3 篇である。  
[74] Lateral Earth pressure in an Earth-Quake Y. Ishii, H. Arai, H. Tsuchida,  
[75] An Experimental Study of Oscillating Earth Pressure Acting on A Quay wall. S. Niwa  
[77] Lateral Earth pressure and Stability of Quay walls During Earth-Quakes. H. Matsuo, S. Ohara  
である。なお、上記の他に土圧及び岸壁の論文が数篇発表されているが、こゝでは問題と表題の事柄に限定する。この中、[74], [77] はいずれも振動台による実験的研究であり、[75] は大規模な野外実験による研究である。

[74] は実際の岸壁の可動性に着目し、種々の可動壁および岸壁模型を設置して、それに作用する土圧と変位量とを測定したもので、一般に可動壁の場合には、振動周期に伴って変化する振動土圧は振動によって静的に増加する残留土圧に比べて、それ程大きくはない、また、振動土圧は壁体の運動と位相差があるものとして、岸壁の安定を支配する地震時土圧は、この残留土圧を主導とするべきであることを論じている。

[75] は高さ 3m の模型岸壁を設置した地盤と 35t/m<sup>2</sup> の起振力を持つ起振機によって加振し、その時の模型岸壁の振動性状およびそれに作用する土圧を測定した結果を述べるものである。測定した振動中の変位および圧力変化を、調和分解して、第一次振動を求め、これをよって変位と圧力の大きさおよび位相差等を明らかにしたものである。

[77] は地震時岸壁に働く振動土圧を、その裏込土を弾性体として理論的に求め、その計算値と実験値と比較、検討した結果を述べるもので、この計算値を用いて現在の岸壁の地震時安定性を論じてある。

なお、岸壁設計の技術上の問題として、その耐震性をどの程度、重要な考慮すべきかについても論じなければならぬと思ふが、こゝでは専ら力学的の事柄に限定して論ずることにする。

## §. 2 裏込土の取扱いについて

[77] の論文では、裏込土を一應弾性体としてとり扱い、固定壁および可動壁に作用する振動土圧を計算しているが、その際、次の仮定をしてある。

(1). 裏込土を弾性体と考へ、この弾性体の弾性率は地表面からの深さと共に、一様に変化する。(このことは別の実験で確かめてある結果である)。

(2). 岸壁の基礎地盤は定常的な正弦運動をする。

(3). 水平振動中、裏込土には鉛直方向の弾性変位は生じないものとする。

この計算によつて得られた振動土圧分布は固定壁に対する場合の実験結果を説明するところ出来るのでなく、可動壁に対する振動土圧は、この可動量の増加に従つて減少するところ、およびある可動量以上では壁の上半部と下半部とに作用する圧力の位相が逆となる。

と云う実験結果とも説明出来た。しかし、壁の可動量がかなり大きい場合には壁面近傍の裏込土は弾性体として取扱い得る以上の変形が生ずるので、こうした場合には上記の計算とそのまゝ適用することは出来ない。また、強制振動の震度が0.3倍以上になると砂粒子の運動が常に活潑となり、そのため、この様な場合には実験値は、弾性体としての計算値とかなり異なった値のものとなる。この様な限度以上の場合には、裏込土をどの様にとり扱って、土圧を求めるかが一つの重要な課題であると考える。

### §.3 壁体の変位について

実際の岸壁が地震時、どの程度の変位を持つかは、前述の振動土圧に関する重要な問題である。[74]の論文では、この点に着目し、種々の型の可動壁および岸壁模型を用いて、実験を行い、この様な可動壁の場合には、その可動量がみの限度以下では、振動土圧は減少し、残留土圧の増加が著しいとの結果を得たことを報告している。

いま、図-1の様に、岸壁のロッキンガ運動とA点と回転中心とする運動とすると、この場合の運動方程式は

$$IA\ddot{\theta} + R\dot{\theta} + K\theta = Map^2\left(\frac{H}{2} + e\right) \text{Simp}$$

$IA$ : 岸壁のA点の周りの慣性係数,  $R$ : 減衰常数

$K$ : 復元係数(回転及力係数等に関する係数)

$$= 4\pi^2, \quad \theta = \frac{M\left(\frac{H}{2} + e\right)}{IA} \frac{ap^2}{\sqrt{(n^2 - p^2)^2 + 4\varepsilon^2 p^2}} \text{Simp}(t - \tau)$$

$$\tan p\tau = \frac{2\varepsilon p}{n^2 - p^2}$$

ここで、 $n^2 = K/IA$ ,  $2\varepsilon = R/IA$ である。また、 $IA = I_g + M\left(\frac{H}{2} + e\right)^2 = MH^2\left[\frac{4}{12} + \frac{e}{H} + \left(\frac{e}{H}\right)^2\right]$

$$\text{とすれば}, \quad \theta = \frac{\left(\frac{1}{2} + \frac{e}{H}\right)}{H\left\{\frac{4(B/H)^2}{12} + \frac{e}{H} + \left(\frac{e}{H}\right)^2\right\}} \frac{ap^2}{\sqrt{(n^2 - p^2)^2 - 4\varepsilon^2 p^2}} \text{Simp}(t - \tau).$$

とすれば。いま、 $H=10m$ ,  $T_p$ (強制周期)=1.0秒,  $B/H=0.7$ とし、著者の所での実験結果を参照して、 $e/H=0.2$ ,  $T_n=0.167$ 秒(岸壁の固有周期),  $2\varepsilon/n=0.22$ として $\theta$ を求めると、震度0.2で $\theta=0.15\times 10^{-3}$ となる。弾性理論から可動壁に作用する振動土圧は、この日により一次的に定まるとしておけば、実際の裏込土の場合には、二倍以上の程度成立つかと言うことは、一概考らず未だ十分解らぬ問題である。

### §.4 ゆり込み土圧について

[74]の論文による残留土圧は、先に著者が提案した、ゆり込み土圧と同性値のものであるが、論文[74]の結果によると、壁体の可動量によって、ゆり込み土圧の傾向が異なる。すなわち、固定壁の場合には、ゆり込み土圧量は壁と共に一次的に増大するが、可動壁で可動量が大きい場合には、壁の高さの中央部附近で最大となるようである。そして、[74]の著者は、この残留土圧量が地震時土圧の支配的なものであるとして、これまでこの実験値が物部、一圓部式に近い値を示しているので、この式と地震時土圧式に採用することを提案している。

しかし、二つには更に確実な理論的根拠、或は相似律の成立しないか、世界の技術者を納得させることが出来ないのであろう。一方、このゆり込み土圧は砂の様な細粒の場合に

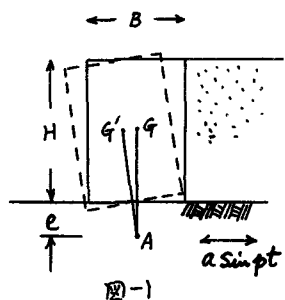


図-1

大きくなるものと考えられる。よって壁体の裏込め石に割石を用い、振動台固め機と用いて、つま固めながら丁寧に施工すれば、ゆり込み土圧が起らるるようになることは不可能ではないと思う。一方、土圧計の受圧面に反復圧力が作用する場合には、一般に砂の縮み率により原因して、圧力計の感度が次第に変化して、ゆり込み土圧を実際以上に大きく計測しがちである。著者の実験では、受圧面変位量と受圧面径との比が圧力強度  $100\text{kg}/\text{cm}^2$  において、 $0.17 \times 10^{-3}$  のものを使用して、その影響を除くことを出来ない、それ以前に使用した圧力計では相当の履歴現象を認めた。著者が初めてゆり込み土圧に関する実験を行った場合(土木学会誌27号 昭和16年参照)のこの値は  $1.4 \times 10^{-3}$  であったから上記の計測誤差が入っていると考へはいけない。従って実際以上にゆり込み土圧は、初期の周期的土圧変化が強調されていて、考へはいけない。なお、[7]の上記圧力計による実験結果では、ゆり込み土圧量は振動土圧量に比して余り大きいものではなかった。

### 3.5 位相の相異について

論文[74]は振動周期  $T=0.30$  秒前後で実験が行われていて、振動台と振動土圧との位相差は可動壁の場合には約  $180^\circ$  のものが多く、固定壁の場合には約  $40^\circ$  以下になっている。

そして、一般的岸壁は可動壁であるが、上記の位相差があるから、振動土圧は殆ど考へなくてよいと述べてある。[74]では壁体の振動と土圧との位相差は  $T=0.241$  秒の場合に高さによって  $30^\circ$ ~ $60^\circ$  の間に変化し、 $T=0.167$  秒の場合に壁頂の変位からの土圧の位相の遅れは地表から深い所では  $100\sim120^\circ$ 、深い所では約  $300^\circ$  となっている。上記の上限、下限の間の周期では、位相もこの間に変化している。しかし、6回の実験の中、 $T=0.241$  秒以前のものでは、壁体の上半部と下半部では、位相差が約  $180^\circ$  ある。[75]の著者が1958年に運研報告8巻3号に発表している同様の載荷室のはい場合の報告には上下の土圧の間の位相差は約  $30^\circ$  為工のものがほい。載荷室のために、こうした変化が起つたのが、なぜかが解明せんことを期待する。これが小にしても位相差の結果は[74]と[75]とでは一般に一致しない点がある。[75]では  $T=0.24$  秒附近では壁体との位相差が小さき事から考へると、[74] ( $T=0.3$  秒)でも壁体の振動は振動台よりも相違に位相の遅れがあるよう考へらざるを得て、振動土圧と壁体とが離れて同じ位相で振動する場合があるかどうかと検討する必要があるよう思う。

[77]の実験では可動壁が下端を中心回転するような変位をする場合に、壁上部と下部では約  $180^\circ$  の位相差を生ずることを報告して、これと著者の提案した計算法で証明出来ると述べている。

### 3.6 動水圧について

岸壁前面の動水圧はその水深を  $10\text{m}$  とすると、動水圧の第一次固有周期は 0.03 秒程度となり、地震の主要動の周期に比してかなり小さいので、不規則な地震動を考慮する場合の動水圧は  $90^\circ$  以上の位相差を、岸壁においては考へることは出来ない。故に前面の動水圧は Westergaard 値を Full に考へるべきである。次に、従来考へていけい岸壁背面の動水圧であるが、これについては[77]の論文の実験においてはその存在が確認されない。(土木学会論文集38号、およびこれについての理論的解析は土木学会論文集70号参照)。

この理論的解析の結果によれば、いま、後裏込の透水係数、入、裏込の間隙率、

$\rho_w$ ; 水の密度,  $K$ ; 水の体積弾性率,  $h$ ; 飽和水深,  $\omega$ ; 強制振動の角速度, とすると, これら相互の関係によって,  $[(\frac{\pi}{2h})^2 - (\frac{\rho_w \omega^2}{K})]^2$  に対する  $(\frac{\rho_w \lambda g}{K h} \omega)^2$  の項が無視出来る程度となる  $\rho_w$ , したがって, この動水圧が Westergaard 値には等しい値となるが, それより小さいものとなるのが見える。いま,  $h=10m$ ,  $\lambda=0.5$ ,  $g=1cm/s^2$  とする。強制周期を 10 秒のとき,  $(\frac{\rho_w \lambda g}{K h} \omega)^2 / [(\frac{\pi}{2h})^2 - (\frac{\rho_w \omega^2}{K})]^2 = \frac{1}{250}$ , 強制周期 0.3 秒のとき  $(\frac{\rho_w \lambda g}{K h} \omega)^2 / [(\frac{\pi}{2h})^2 - (\frac{\rho_w \omega^2}{K})]^2 = \frac{1}{25}$  となり, この場合には  $(\frac{\rho_w \lambda g}{K h} \omega)^2$  の項の影響は微少となり, 動水圧ほぼ Westergaard 値に等しくなる。しかし  $K$ ,  $h=10m$ ,  $\lambda=0.5$ ,  $g=10^{-2}cm/s^2$  とすると, この比は周期 10 秒で 36 となるので, この場合には  $(\frac{\rho_w \lambda g}{K h} \omega)^2$  の項の影響は大となるので, この種の動水圧は考慮する必要がある。埋立地の土砂の透水係数は  $10^{-2}cm/s$  程度, 裏込粗石の部分の透水係数は  $10^2cm/s$  程度と一概にすると, 裏込粗石の部分だけに対してはこの種の動水圧は考慮されないほどの結果となる。その場合, 裏込粗石の部分の奥行は岸壁高の  $1/2$  とすると, Werner, Sundquist の式より Westergaard 値の 33% の動水圧を岸壁背面にとるとしてある。(W.C.E.E の論文では奥行が岸壁高と等しい場合の値とて 70% としてある。)

故に, 岸壁の耐震設計に際しては, 振動土圧, 岸壁の前面および背面の動水圧, 岸壁の慣性力の三者を考慮することとなる。いま, その三者の力の割合を図示すると図-2 の通りである。この振動土圧は著者の所での計算値を用い, 慣性力は岸壁単位重量と  $2.7m^3$  としたときの密度 0.2 のときの値である。

### §.7 異常水圧について

通常の運動水圧とは別に, 振動による裏込土の沈下に際して, 異常間隙水圧が生ずることは [7] の著者によつて実験的に確かめられていて, 実際岸壁にもこうしたことが起るか否かも研究すべき課題である。すなわち, 砂を用いた小型

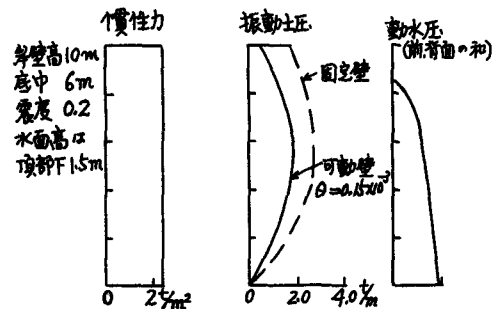


図-2

実験(深さ 40 cm)の結果から推論すれば、裏込土の間隙比が限界間隙比以上の時には、ある一定震度に達した時、壁体には  $tah$  の異常圧力が生じ( $tah$ : 砂の水中見掛け密度)直線分布となると考えられる。(図-3 参照)しかし、実際岸壁では裏込に大半は粗石が使用され、間隙水圧が地表面に割合自由に逃げきる場合には、こうした現象は起きないであろう。ただし、それが透水性の小さな表土で覆われた場合には異常水圧が起ることが著者の別の実験で確かめられている。要するに、この異常水圧の有無は裏込土の液化に関するもので、裏込土の状態、その透水係数に関するものである。

### §.8 共振について

裏込の地震動に共振するか、当然振動土圧は通常の場合のそれより大きくなることが考えられる。また、岸壁壁体の共振状態ではその運動の振幅はかなり大きくなり、このため底面支持力及び底面マサツカ等は常時の中と異なったものとなることが推定される。

裏込の共振周期と前記理論計算により計算すると次表のようになる。

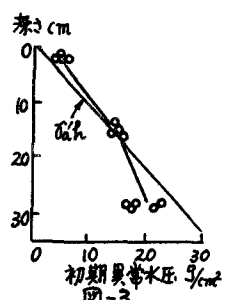


図-3

まに、岸壁のロッキングの共振周期も実際の岸壁の振動測定より、模型実験より 0.15 秒前後の推定値を得ており、両者はほぼ近い値となっている。結局、振動土圧の共振曲線が单振子のそれと、ほぼ相似する（図-4 参照）ので、共振については通常の何倍の土圧が作用するようになるかをみると、单振子の問題と相似させて考えることとした。その際、問題となる減衰係数は実際の岸壁および裏込め盤上の振動記録を解析し、岸壁に対しては 0.22、裏込め盤については 0.1 程度の値を考慮している。この他、共振については不規則な地震動に対し、共振状態が何サイクル繰りかかるかを考慮すべきではない。

実際の岸壁および裏込め盤上での地震記録より、二つの response curve を得るために研究が今後、必要であると思う。

### 3.9 結び

以上、地震時土圧及び岸壁の耐震安全に関する問題点を述べたが、岸壁の設計についても、共振の場合、又異常隙水圧やゆり込み土圧が生ずる場合を考慮すると、重力式岸壁と絶対に耐震的とは言えないことは容易では無い。しかし、大地震の多くの場合の地震動周期が裏込め盤の固有周期より大であることを考慮、一概、共振はないものとし、異常水圧やゆり込み土圧がないように施工が出来たとして、地震時に働く余分の力は、壁体の慣性力のほかに、固定壁に作用する土圧、水圧（前面並びに背面）を考慮することが必要であると思う。この場合、壁体の変位による土圧の減少は考慮しないので、土圧は計算値より一般に多少小さくなると思う。予め、この値を想定して設計すべきであるが、そのための資料が現在では足りないようだ。

なお、論文[7]の振動圧力測定値の最大値は側壁、並びに壁の変位の影響を考慮すれば[7]の計算値に近い値を示している。

H	共振周期(秒)表			
	g=0%	g=16	g=32	g=48
5m	0.135	0.123	0.115	0.107
10m	0.221	0.206	0.196	0.185
15m	0.282	0.276	0.264	0.250

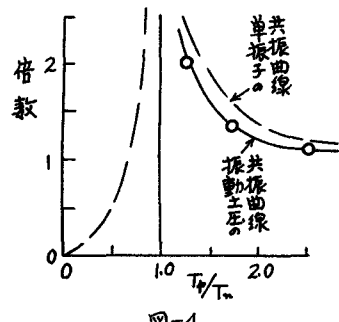


図-4

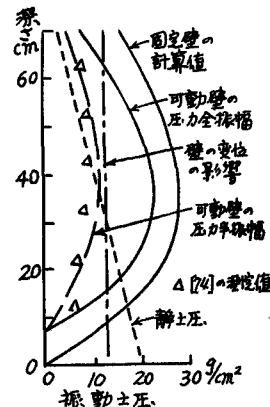


図-5